

U YOU HUAXUE

〔美〕約瑟夫·哲·卡茨和尤金·拉賓維奇 著

鈾化學

卷一

化学工业出版社

54.413
162
121

(美) 約瑟夫·哲·卡茨和尤金·拉賓諾維奇

鉻化學

卷一

元素鉻

鉻的二元化合物

氯化鉻的水合物

鹵氧化鉻

伍麗潔 范毅克 合譯

化學工業出版社

鉻化學

卷一

伍爾索·范毅克 合譯

化学工业出版社出版 北京安定門外和平街南口

北京市书刊出版业营业許可証出字第092号

化学工业出版社印刷厂印刷

新华书店科技发行所发行 各地新华书店經售

开本：787×1092毫米1/16 1960年8月第1版

印张：24 $\frac{9}{16}$

1960年8月第1版第1次印刷

字数：550千字

印数：1—5,000

定价：(10)3.60元

书号：15063 · 0621

54.413
162
1-1

[美] 約瑟夫·哲·卡茨和尤金·拉賓諾維奇

鈾化學

卷一

元素鈾

鈾的二元化合物

氯化鈾的水合物

鹵氧化鈾

伍麗嘉 范毅克 合譯

化學工業出版社

前　　言

我們以非常兴奋的心情把此书獻給大跃进年代里的各位讀者，作為我們向祖国跨进原子能时代的献礼。我們和全国人民一样，在党的领导下，在全民大跃进形势鼓舞下，在同志們的帮助下，决心鼓足干劲，力爭上游，全力以赴，終於在一年的期間里完成了此书的翻譯工作。

本书譯自苏联外文出版社之俄譯本(阿尔諾利道夫 B.B.編輯，1954年出版)，并参考了英文原著(Mc Graw-Hill Book Company, INC. 1951)。

譯者自愧学力疏浅，专业不熟，故在本书翻譯过程中遇到不少困难，承蒙有关同志积极帮助，热情支持，我們特于此致以衷心的謝忱！

最后，我們恳希讀者对本书譯文錯誤之处，給予批評和指正。

譯者　　1959年9月于北京

目 錄

俄譯本編者的話 6

第 I 部 分

元 素 鈾

第一章 天然鈈同位素的組成和原子量	9
同位素的組成	9
原子量	12
參考文献	13
第二章 鈈原子的性質	14
伦琴射綫光譜	14
光譜	23
參考文献	50
第三章 自然界中的鈈	53
概論	53
含鈈矿物的分布和組成	56
鈈矿的工业产地	69
参考文献	75

第 II 部 分

金 屬 鈈

第四章 矿石中鈈的提煉和金屬鈈的制取	81
矿石中鈈的提煉	81
金属鈈的制取	87
参考文献	92
第五章 金屬鈈的物理性質	95
固态鈈的結構和机械性能	95
鈈的机械性能	97
鈈的热力学性质	101
鈈的电子性质	107
参考文献	111
第六章 金屬鈈的化学性質	114
鈈与非金属的反应	114
鈈与非金属化合物的反应	115
鈈与酸的水溶液的反应	116
鈈与碱的水溶液的反应	117

鈾与重金属盐溶液的反应	118
其它反应	118
参考文献	119
第七章 鈾的金属互化物及其合金	120
合金与金属互化物的制取	120
鈾与各种金属的相互溶解度	120
金属互化物	122
参考文献	123

第Ⅲ部分

鈾的二元化合物 (卤化物除外)

第八章 鈾一氢系	127
氢在固态及液态金属鈦中的溶度	127
鈦的氢化物	129
鈦的氘化物	141
参考文献	142
第九章 鈾的硼化物、碳化物及硅化物	145
鈦一硼系	145
鈦一碳系	145
鈦一硅系	152
参考文献	155
第十章 鈾与V₂族元素的化合物	156
鈦的氮化物	156
鈦的磷化物	161
鈦的砷化物及锑化物	162
参考文献	162
第十一章 鈾的氧化物、硫化物、硒化物及碲化物	164
A. 鈦的氧化物及氢氧化物	164
鈦一氧系中的相律关系	165
无水氧化鈨的物理性质	174
氧化鈨的水合物	187
鈨与鈨的氧化物的氧化和还原	196
鈨的其它化合物转化为氧化物	209
氧化物转化为鈨的其它化合物	213
B. 鈨的硫化物	218
鈨一硫系	218
鈨的硒化物和鈨的碲化物	222
参考文献	222

第Ⅳ部分

鈾的卤化物、氧卤化物、硼氢化物及羰基化物

第十二章 不揮发的鈾的氟化物	231
三氟化鈾	231
四氟化鈾	234
五氟化鈾及中間氟化物 U_2F_9 和 U_4F_{17}	250
参考文献	256
第十三章 六氟化鈾	259
六氟化鈦的制取	259
六氟化鈦的物理性质	263
六氟化鈦的化学性质	284
参考文献	288
第十四章 鈾与氯的化合物	290
三氯化鈦	290
四氯化鈦	297
五氯化鈦	313
六氯化鈦	319
参考文献	324
第十五章 鈾的溴化物、碘化物及假卤化物	329
三溴化鈦	329
四溴化鈦	333
三碘化鈦和四碘化鈦	340
三价鈦和四价鈦的混合卤化物	344
硼氢化鈦(IV) $U(BH_4)_4$	351
制取羰基鈦的試驗	355
参考文献	357
第十六章 鈾的卤氧化物	360
氟化鈦酰 UO_2F_2	360
氟化氧鈦(IV) UOF_3	369
氯化鈦酰 UO_2Cl_2	369
氯化氧鈦(IV) $UOCl_3$	375
溴化鈦酰 UO_2Br_2	377
溴化氧鈦(IV) $UOBr_3$	379
碘化鈦酰 UO_2I_2	380
参考文献	381
索引	383

俄譯本編者的話

卡茨(Joseph J. Katz)和拉宾諾維奇(Eugene Rabinowitch)的著作“鈾化學”于1951年在美国出版。該书是作者所写这部书(两卷輯)中的第一卷，同时亦是一部以外国研究人員在十八世紀末到1950年期內所完成的工作为主的文献綜述。

本书共分四部分。

第一部分系簡述鈾的天然同位素和人工同位素，以及有关测量波长的伦琴射綫的研究結果，这些波长相当于不同价态鈾的基本吸收界限的；这部分中还述及了該元素发射特性的伦琴射綫譜及其光电效应。同时，亦引証了光譜研究的数据、鈾的电弧与电花光譜中最重要波长的測定結果、核的光譜效应和电场与磁场对光譜影响的数据，以及有关的热学分析（其符号及数值列于各表內）。此外，这部分还略述了鈾矿矿床的地理状况和地质状况。

本书的第二部分是叙述金属鈾的提炼和研究工作——鈾矿加工方法、金属鈾的制取，——及探討晶体的结构、原子的大小、密度、热膨胀、硬度、弹性变形与非弹性变形、机械实验結果、热容、热电动势、磁化系数、光发射系数和其它的物理性质。也援引了金属鈾的化学性质——它与非金属、无机酸、有机酸、碱的水溶液和某些盐的水溶液的关系。

本书的第三部分討論了鈾的氢化物、氘化物、硼化物、碳化物、硅化物、氮化物、磷化物、砷化物、錦化物，以及其氧化物、硫化物、硒化物、碲化物等的制取方法和性质。

第四部分則研究了鈾的卤化物、氧卤化物、硼氢化物和羰基化合物。

本书每部分都給出了鈾化合物物理性质的研究結果(晶体结构、热力学数据等等)。

本书之重要意义在于其搜集了大量的实际材料，同时，不仅从已发表的文献中引証了数据，而且部分地报导了按著名于美国“曼赫坦計劃”(Manhattan Project) 所进行的研究工作結果。

本书对从事鈾化學方面工作的化学工作者与物理学工作者无疑是有益的。

对苏联讀者无关重要部分的材料，在翻譯版本中已对原文做了小量縮減。

第一部分

元素鉻

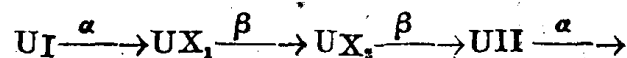
第一章

天然鈾同位素的組成和原子量

本章将对天然鈾同位素的組成問題作扼要的叙述。对所有天然同位素和人工同位素原子核性能的詳細研究，不屬於本書的主题范围(关于这个問題，见[1])。这里所討論的仅是鈾同位素的組成、原子量以及在自然界中常见的三种鈾同位素之間相互联系的某些主要数据。

同位素的組成

天然鈾有三种同位素： U^{238} (U I)、 U^{234} (U II)和 U^{235} (鈾-235或 AeU)。一些寿命較短的同位素，可以用人工方法——通过各种不同的原子核反应获得。曾采用銅、鉻、鎂或鈾的长寿命同位素作为核反应的原料。鈾的天然同位素和人工同位素的放射性常数列于表 1 內。同位素 U^{238} (U I) 和 U^{234} (U II) 均为同一放射系，即所謂 $(4n+2)$ 系中的成分：



因此，凡是在放射性达到平衡的鈾矿內，这些同位素存在的量有一个固定的比率，即与它們的半衰期比相等。

根据质譜照象分析的数据，同位素 U^{235} 和 U^{234} 的平衡比值等于 141.5[3]。根据測定，

鈾的天然同位素和人工同位素的放射性常数 [2]

表 1

質量数	放射线			天然鈾中的含量，%
	特性	能量，百万电子伏	半衰期	
天 然 同 位 素				
234(U II)	α	4.76	2.35×10^6 年	0.005
235(AeU)	α	4.52	8.91×10^5 年	0.71
			7.07×10^5 年	
			8.52×10^5 年	
238(U I)	α	4.21	4.51×10^9 年	99.28
人 工 同 位 素				
228	α (80%) K (20%)	6.72	9.3 分	
229	α (約20%) K (約80%)	6.42	58 分	
230	α	5.85	20.8 昼夜	
231	K		4.2 昼夜	
232	α	5.3	70 年	
233	α, γ, e^-	14.8	1.6×10^5 年	
237	β, γ, e^-		6.8 昼夜	
239	β, γ, e^-		23.5 分	

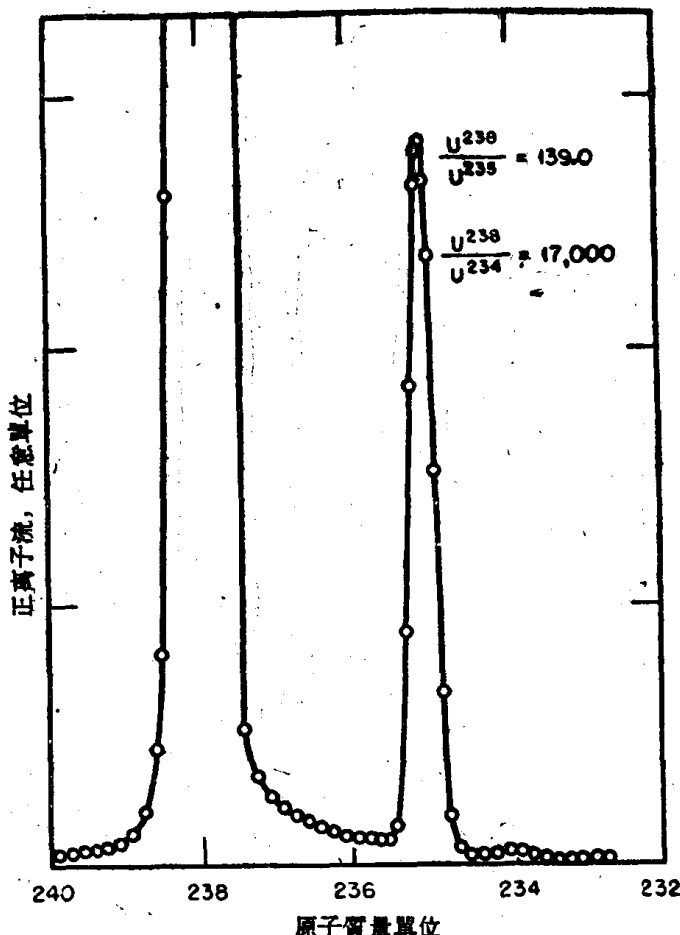


图 1 鉴的同位素
小圆圈表示以实验方法确定的点。

U^{238} : U^{235} 的比值为 138.0 [4]。从上述两值求得 U^{238} : U^{234} 的比值为 19530，該值所相当的含量为 0.0051 % U^{234} 。

同位素分析結果[5]列于图 1。 U^{234} 的最大值位置很低，以致仅能近似地求出 U^{238} : U^{234} 的比值。通过一系列的实验，得到的一些比值介于 13.0×10^3 和 20.8×10^3 之間，平均为 $17000 \pm 10\%$ ，这正和上面所引証的数字相符。

銅鉈 U^{235} 不是 $(4n+2)$ 系的成員。它存在于天然鉈內的原因尚不十分清楚。实验表明，天然鉈中 U^{235} 的浓度非常固定。

存在于天然鉈內 U^{235} ，是利用質譜照相分析法首先发现的[6]，于此得知 U^{235} 的浓度小于 1%。后来，对不同的鉈矿物进行了精确的测定[5]，测定結果列于表 2 中。該測定中 U^{238} : U^{235} 比值的平均数等于 139 土 1。从表 2 的数据中可以看出，矿物的年齡对 U^{238} : U^{235} 的比值沒有显著的影响。

同位素 U^{238} : U^{235} 的比值

表 2

矿 物	年 齡	U^{235} : U^{235} 的比值①	
		比 值 的 上 下 限	平 均 值
似碳矿物(瑞典).....	4×10^8	137.5~140.7	139.0
瀝青鉈矿(昂大略 Ontario)	1.0×10^9	135.3~140.8	138.9
硫鉈鈉鈣石.....	1×10^8	136.6~141.3	138.8

① 利用四氯化鉈及四溴化鉈作为离子源。

哥伦比亚大学的科学工作者对这个比值作了第二次测定[4]。他們利用 UF_6 中的离子 UF_6^+ 和 UF_4^+ (标准源) 以及离子 U^+ (表面电离源)。测定結果列于表 3 內。将两种非洲矿石，一种加拿大矿石和一种柯罗拉多(Colorado)鉀鉈鉈矿石进行比較的結果得出， U^{238} : U^{235} 的比值差未超过 0.03%。

用这两种离子源所求得的值，在統計誤差范围内完全相符合；在該实验工作中采用了哥伦比亚大学[4]所求得的值(138.0±0.3)。原来的值(139±1)[5]在統計范围内也与此值相符合。利用不同源所求得的各值之差，很可能是由于同位素的揮发度不同而导致混合物中一种

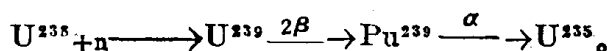
用兩种不同的源所测定的 $U^{238} : U^{235}$ 的比值

表 3

源	$U^{238} : U^{235}$ 的 比 值		
	比 值 上 下 限	平 均 值	
标准的.....	135.0~138.6	137.0±0.7	
表面的.....	137.9~139.0	138.0±0.3	

同位素浓度的相对提高。

U^{235} 的含量在不同年齡的天然鉈矿內固定不变，对于这个問題有两种解释：一种假說認為，在地壳形成时期天然同位素混合物中 U^{235} 的含量要比目前多得多；因之它现在的浓度只是最初时期的剩余浓度。另一种假說認為， U^{235} 是由 U^{238} 形成的（可能现在也还是由 U^{238} 形成），例如，通过下面核反应：



前一种假說是通过测定不同年齡鉈矿內的鉈 Pb²⁰⁶(RaG)和銅鉈 Pb²⁰⁷(AcD)的比值来检验。这个比值較现在所有的 $U^{238} : U^{235}$ 的比值都小得多（与 0.7% U^{235} 相比，Pb²⁰⁷ 为 5~10%），并随着矿物的年齡而增加。对年齡在 2×10^8 到 13×10^8 年 [7] 的矿物进行测定的结果，正好和理論曲綫相符合；該理論曲綫是以 Ac 系和 U 系的现代放射性比值 0.046，和 U^{238} 与 U^{235} 的浓度比值 139 为基础而繪制的。根据这两个常数，曾求出过去各地質时期的 $U^{238} : U^{235}$ 应有的比值（表 4）。

表 4 內最右一栏的值，比过去根据 $U^{238} : U^{235}$ 的較大比值和銅系較小的对应放射性所計算出的值要小。因此，銅系在地球热量史中的作用，并不象以前所想象的那样大。

为了使已得到的数字有可能接近不同年齡的矿物中 $Pb^{207} : Pb^{206}$ 的比值，曾选定上述之值 0.046 作为銅系和鉈系的现代放射性比值（图 2）。根据 $U^{238} : U^{235}$ 的浓度比 1:139 和 U^{238} 的半衰期 4.51×10^9 年，求出了 U^{235} 的半衰期为 7×10^6 年。另一方面，直接测出的上述两系放射性的比值为 0.040，由此求得的 U^{235} 的半衰期为 8.1×10^8 年。由图 2 可以看出，所观察的 $Pb^{207} : Pb^{206}$ 的比值約比从放射性比值中所算出之 0.040 大 20%。这种差异的原因，或是因为 Pb^{207} 过多，或是因为 Pb^{206} 过少，至今尚未最后弄清。一种假定認為，这是由于放射性的实验比值过低的缘故 [7]。但是，在最近一些文献中指出 [8]， U^{235} 的半衰期大約等于 8.9×10^8 年，由此可见，放射性的比值甚至还應該比 0.040 低。

一般說來，鉈和鉛的質譜照相分析結果是符合于关于地壳內最初就含 U^{235} 的假說的；而关于地球存在的整个时期內，后来又形成多少 U^{235} 的問題已經不是一个秘密了。当 U^{238} 的原子每次受到地球上經常存在的中子作用时，都能产生 U^{235} 原子，而这些中子是在吸收宇宙綫、核的自然裂变和在进行 (α, n) 反应时产生的。然而现在还没有任何理由能解释 中子轰击 U^{238} 所产生的 U^{235} 数量对不同鉈矿床都是相同的。因此，与其用一切矿物中 $U^{235} : U^{238}$ 之比

不同地質期內 $U^{238} : U^{235}$ 的比值 表 4

矿物年齡 年 $\times 10^{-8}$	$U^{238} : U^{235}$	銅系和鉈系的 放射性比值
0	139.0	0.046
4	100.2	0.065
8	72.2	0.089
12	52.1	0.123
16	37.5	0.171
20	26.9	0.238

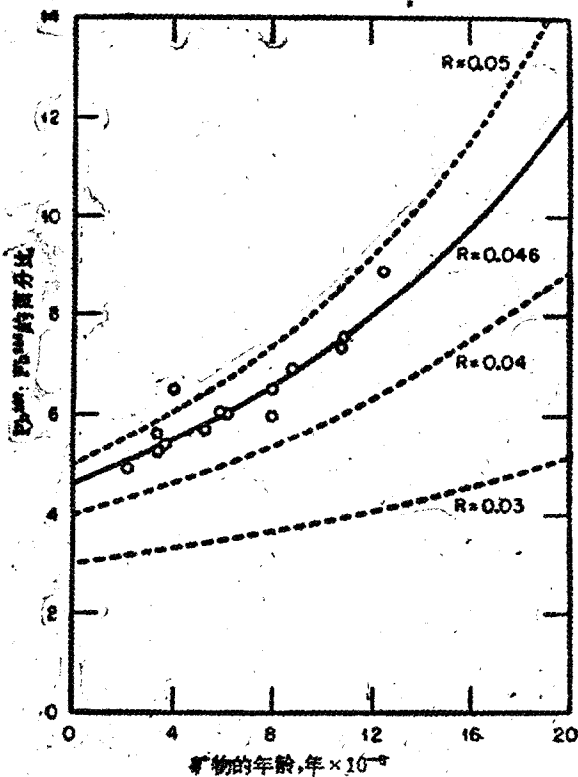


图 2 作为提取镥的矿物年龄函数的 Pb^{207}/Pb^{206} 的百分比
(包括镥的普通混合物的校正系数)

根据公式:

$$\frac{Pb^{207}}{Pb^{206}} = \frac{1}{139} \cdot \frac{e^{189R\lambda UI t} - 1}{e^{A UI t} - 1}$$

得出不同R值的(锕系和镧系的放射性比)曲线。小圆圈表示实验测定点[7]。

值近似相等(U^{235} 的含量约为0.7%) 的事实来说明 U^{235} 是在地壳硬化后由 U^{233} 生成的, 不如用不同矿物中 U^{233} 的含量与其不变量存在有少量误差予以证明。

原 子 量

黑尼格士米德(Hönigschmid)和他的同事[9], 对镥的原子量作过精确的测定。这些测定是在计算 $UX_4:Ag$ 和 $UX_4:4AgX$ (X 是Br或Cl) 的比值的基础上进行的。在早期的测量中[10—12], 得知镥的原子量为238.13到238.18。1928年, 国际原子量委员会采用238.14作为最大几率值, 然而, 如果将该值与单独测量求出的镥原子量相比较, 它就显得太大了。实际上, 黑尼格士米德和威特涅尔(Witner)后来的研究结果[9]证明上述数值有错误。利用混浊滴定法曾对 $UO_4:4Ag$ 的比值作了18次测定, 对 $UBr_4:4Ag$ 的比值作过20次测定, 结果求得镥原子量的两个平均值为238.073和238.076, 所以在1936年决定采用238.07。

因为天然镥内 U^{235} 镥含量为0.7%, 所以根据平均值238.075求得同位素 U^{233} 的原子量等于238.09。为了计算铈集率, 这个“化学”原子量(以天然氧原子量16.0000为准)应乘上1.000272, 以便换算成“物理”原子量(以 O^{16} 的16.0000为准)由此得出 $U_{物理}^{233}=238.16$, 而铈集率为:

$$P_U = \frac{0.16}{238} = 0.00067$$

匈普思特尔(Dempster)[13]根据已知的放射性衰变能量，繪出了大原子量范围内的歛集率曲綫图；同时 Pb^{206} 的歛集率被定为 0.00023。根据这个曲綫得出 U^{238} 的值为 0.00055(图 3)

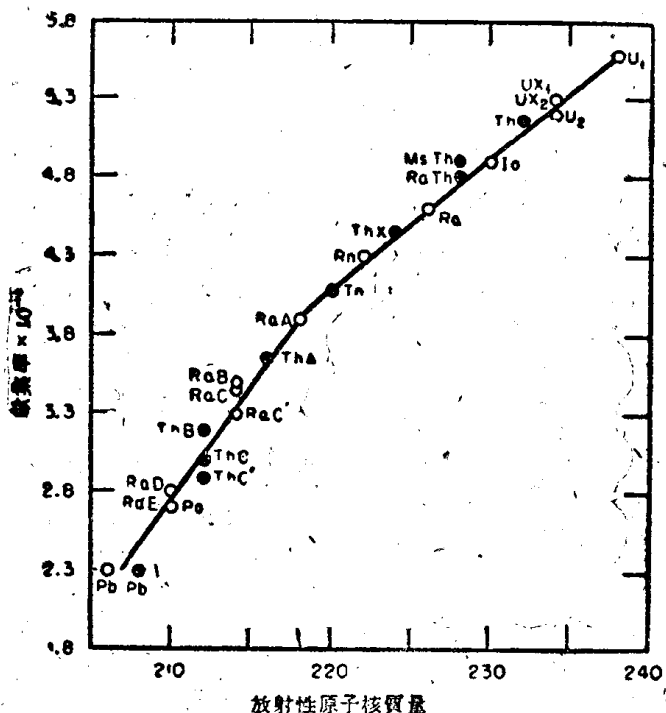


图 3 放射性元素歛集率的理論曲綫。該理論曲綫是在假定氯的質量等于 4.0039 和鉛的歛集率为 2.3×10^{-4} [13] 的基础上根据衰变能而得出的，
○—鉛的衰变产物；●—钍的衰变产物。

把这个值同实验所得的值 (0.00067) 相比較，发现上述原子量可能过大。因为 Ra^{226} 的歛集率的实验值与按匈普思特尔曲綫所测出的值完全相符合，所以即使与 Ra^{226} 的原子量相比， U^{238} 的实验原子量也显得大了一些。黑尼格士米德在确定 Ra 原子量的最近几次試驗中，得出 Ra^{226} 的值为 226.05。在 U^{238} 轉變成 Ra^{226} 时，因辐射而消耗的大量能量的附加額对 U^{238} 为 238.07。相应的歛集率为：

$$P_U = \frac{238.07 \times 1.00027 - 238}{238} = \frac{0.135}{238} = 0.00057$$

参考文献

1. National Nuclear Energy Series, Div. IV, vol. 17A.
2. Seaborg G. T., Perlman I., Revs. Modern Phys., 20, 585—667 (1948).
3. Chamberlain O., Williams D., Yuster P., Phys. Rev., 70, 580 (1946).
4. Fox M., Rustad B., Report A-3828, Jan. 16, 1946 (SAM Columbia I).
5. Nier A. O., Phys. Rev., 55, 150—153 (1939).
6. Dempster A. J., Nature, 136, 180 (1935).
7. Nier A. O., Phys. Rev., 55, 153—163 (1939).
8. Clark F. L., Spencer-Palmer H. J., Woodward R. N., Report BR 521, Oct., 1944 (British I).
9. Höning schmid O. et al., Z. anorg. u. allgem. Chem., 226, 289 (1936).
10. Höning schmid O. et al., Monatsh., 36, 51 (1915).
11. Höning schmid O. et al., Monatsh., 37, 185 (1916).
12. Höning schmid O. et al., Z. anorg. u. allgem. Chem., 170, 145 (1928).
13. Dempster A. J., Phys. Rev., 53, 869—874 (1938).

第二章

鈾原子的性質

倫琴射綫光譜

鈾是最重的元素之一，它具有很复杂的伦琴射綫光譜。鈾的中性原子在最低的动力状态下有着极完善的电子壳层K(2个电子)、L(8个电子)、M(18个电子)、N(32个电子)和部份充满的电子壳层O(21个电子)、P(9个电子)和Q(两个电子)。按 $5f$ (O_{III-VI})、 $6d$ (P_{IV-VI})和 $7s$ (Q₁)組的六个外层电子的分布，可能与 f^3ds^2 的构型相符合(见43頁)。这六个电子是鈾的价电子；由于它们激发的结果而产生光譜。其余的86个电子是“内电子”，它们的激发现象产生伦琴射綫光譜，因此该光譜应由K、L、M、N、O和P系组成，但属于最后两个“超軟”系的直綫，到目前为止尚未发现。

倫琴射綫吸收光譜 表5中列有最近經實驗得出的相当于鈾主要吸收边界的波长的某些数值。波长的测量是用部份金属鈾和部份二氧化鈾作为吸收物质来进行的。化学化合物的生成及其性质对主要吸收L-边界位置的影响，用数据表示于表6中[1]。除根据这些测定所得出的数据外，其他研究工作者[2-11]也进行了相当于主要吸收边界的波长的测量。

鈾的吸收边界

表5

符 号	边 界 位 置		宽, 伦琴单位	文 献	符 号	边 界 位 置		宽, 伦琴单位	文 献
	伦琴单位	ν/R				伦琴单位	ν/R		
K _I	106.58	8550	—	15	M _{II}	2873	317.18	—	20
L _I	568.0	1604.3	4.5	16		2877	316.7	—	21
	568.2	1603.7	—	13		3326	273.99	—	22
L _{II}	591.3	1541.0	4.3	16	M _{III}	3327	273.9	—	21
	590.7	1539.5	—	13		3326	273.99	9①	14
L _{III}	720.8	1264.2	4.2	16		3491	261.03	—	20
	720.7	1264.3	—	13		3491	261.03	—	21
M _I	2228	408.9	—	17,18,	M _{IV}	3491	261.03	13②	14
M _{II}	2385	382.1	—	19		3491	261.03	—	—

① 从3322到3331伦琴单位。

② 从3487到3500伦琴单位。

吸收边界的精细结构与鈾的化学状态有关，其研究结果可用于結晶体內价电子鍵的分析。最初在L_{II}-边界上发现有[12]“白綫”，后来在金属鈾的吸收L_{II}-边界上也发现了类似的白綫(其波长分别为720.4和590.4伦琴单位)；而在L_I-边界上还没有这一发现[13]。在二氧化鈾的M_{IV}-和M_{VI}-吸收边界上未观察到精细结构[14]。

馬涅斯柯(Manescu)首次进行了鈾的吸收边界L_I和L_{II}精细结构的詳細研究[1]。从表6可以看出，在短波方面，这些吸收边界先有最小值(白綫)，而后有 α 、 β 和 γ 的最大值